

УДК 537.312.62

ЗАТУХАНИЕ НИЗКОЧАСТОТНОГО ЗВУКА В МЕТАЛЛОКЕРАМИКЕ Y—Ba—Cu—O

*И. М. Голев, О. Н. Иванов, И. М. Шушлебин, С. А. Гридинев,
Б. Е. Милощенко*

Исследовано поглощение звука в диапазоне частот $10\text{--}10^3$ Гц в металлокерамике $\text{YBa}_2\text{Cu}_3\text{O}_{7\pm\delta}$. Обнаружены аномалии внутреннего трения Q^{-1} данного соединения с максимумами при 10, 30, 55, 82, 92 и 105 К. В области $N-S$ перехода отмечается широкая аномалия Q^{-1} . Показано, что в присутствии внешних магнитных полей имеет место резкое увеличение Q^{-1} в сверхпроводящем состоянии, обусловленное воздействием индукционных токов.

В настоящее время проведены исследования упругоакустических свойств высокотемпературных сверхпроводников в ультразвуковом диапазоне частот (см., например, [1–3]). Однако известно, что особенности поглощения упругих колебаний в твердом теле существенно зависят от частоты. Нами изучалось влияние тепловых и магнитных полей на величину диссипации энергии в металлокерамике $\text{YBa}_2\text{Cu}_3\text{O}_{7\pm\delta}$.

Измерения затухания звука проводились методами изгибных [4] и крутильных [5] колебаний. В первом случае образец в виде пластины с характерными размерами $12 \times 3 \times 0.3$ мм закреплялся консольно и совершал свободные колебания с частотой $f \sim 10^3$ Гц. Измерения инфракрасного Q^{-1} ($f \sim 10$ Гц) выполнены с помощью обращенного крутильного маятника на образцах размерами $20 \times 2 \times 2$ мм. Температурные зависимости Q^{-1} определялись в условиях непрерывного нагревания со скоростью ~ 0.005 К/с. Изучались зависимости внутреннего трения от температуры или величины приложенного магнитного поля.

Образцы номинального состава $\text{YBa}_2\text{Cu}_3\text{O}_{7\pm\delta}$ приготовлены по двухстадийной керамической технологии [6] из смеси порошков Y_2O_3 (ч. д. а.), BaCO_3 (ч. д. а.) и CuO (ч. д. а.), взятых в стехиометрическом соотношении. Исходная смесь отжигалась при температуре 1170 К на воздухе в течение 6 ч, после чего полученный продукт перемалывался и отпрессовывался в заготовки в форме дисков при давлении 800 КПа. Заключительный отжиг проводился при 1220 К в течение 15 ч также на воздухе. Дифрактометрические исследования показали, что 95 % объема образует фаза $\text{YBa}_2\text{Cu}_3\text{O}_{7\pm\delta}$. Измерения проводились на партии образцов в количестве не менее 10 шт. Полученные результаты хорошо воспроизводились.

Были определены температурные зависимости электросопротивления R (рис. 1, 1) и магнитной проницаемости μ (рис. 2, 1). Резистивный переход начинается при 93 К, в интервале 89–91 К сопротивление уменьшилось на 60 %, нулевые значения R достигнуты в области 85 К (в отсутствие приложенного магнитного поля). Изменение μ начинается при 90 К, в интервале температур 85–90 К последняя уменьшалась на 60 %, максимальный диамагнитный эффект достигнут только в области 50 К.

Как показали исследования внутреннего трения металлокерамики $\text{YBa}_2\text{Cu}_3\text{O}_{7\pm\delta}$, наблюдается довольно сложная его зависимость от температуры. В интервале температур 4.2–75 К обнаружены пики с максимальными значениями Q^{-1} вблизи 10, 30 и 55 К (рис. 3). Показано, что пики

в области 30 и 55 К не изменяют своего положения при увеличении частоты колебаний от 1200 до 3000 Гц, что характерно для аномалий Q^{-1} , обусловленных фазовыми переходами. Пик при 10 К смещается в область меньших температур. Ранее аномалии Q^{-1} подобного поведения были обнаружены в сверхпроводящем ниобии [7], их появление связывалось с изменением коэффициента торможения дислокаций и влиянием квантовых

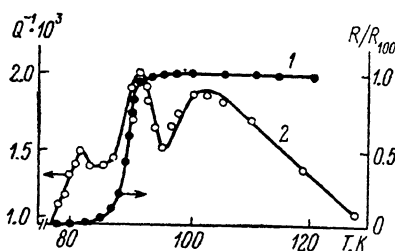


Рис. 1. Зависимость электросопротивления (1) и внутреннего трения (2) от температуры для металлокерамики $\text{YBa}_2\text{Cu}_3\text{O}_{7\pm\delta}$. $f=1200$ Гц.

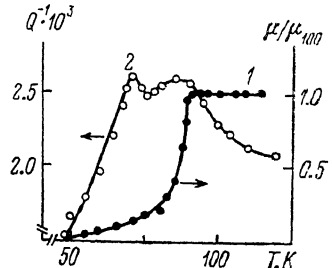


Рис. 2. Зависимость магнитной проницаемости (1) и внутреннего трения (2) от температуры металлокерамики $\text{YBa}_4\text{Cu}_3\text{O}_{7\pm\delta}$. $f=14$ Гц.

флуктуаций на среднюю частоту открепления дислокационных сегментов при сверхпроводящем переходе.

В области температур 75–130 К наблюдается широкий пик Q^{-1} (рис. 1, 2). Отмечаются локальные максимумы Q^{-1} при 82, 92 и 105 К, последний из которых предшествует $N-S$ переходу, первые приходятся на начало и окончание изменения R (T).

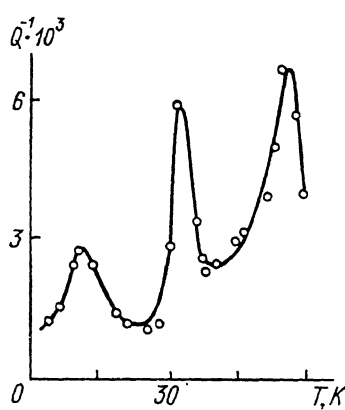


Рис. 3. Температурная зависимость внутреннего трения металлокерамики $\text{YBa}_2\text{Cu}_3\text{O}_{7\pm\delta}$.

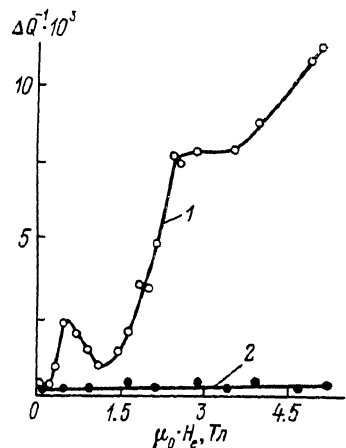


Рис. 4. Зависимость ΔQ^{-1} от продольного магнитного поля.

$f=2600$ Гц. 1 — в сверхпроводящем состоянии, 5 К; 2 — в нормальном состоянии, 220 К.

В инфразвуковом диапазоне частот также наблюдается широкая аномалия Q^{-1} в интервале температур 50–130 К (рис. 2). Однако в этой области частот перед сверхпроводящим переходом наблюдается только рост Q^{-1} , а максимальные его значения при 75–85 К совпадают с изменением μ (T), окончание которого сопровождается уменьшением Q^{-1} .

Сравнение результатов эксперимента в различных частотных диапазонах показывает, что сверхпроводящий фазовый переход в металлокерамике $\text{YBa}_2\text{Cu}_3\text{O}_{7\pm\delta}$ сопровождается значительными изменениями внутреннего трения данного соединения. Область изменения Q^{-1} шире области $N-S$ перехода, и определение влияния последнего на величину Q^{-1} было затруднено из-за большого затухания вблизи локальных максимумов.

Известно, что магнитное поле оказывает заметное влияние на поведение сверхпроводника, в том числе и протекающие в нем диссипативные процессы. Металлокерамики являются в этом отношении интересными объектами исследований, так как сохраняют сверхпроводимость в очень большом диапазоне полей, начиная с их малых значений [8], где наблюдается смешанное состояние. В этой связи нами было исследовано влияние магнитного поля на величину затухания при постоянной температуре. Так, для сверхпроводника, находящегося в нормальном состоянии ($T=220$ К; рис. 4, 2), наблюдается монотонное возрастание ΔQ^{-1} с увеличением магнитного поля. Если же образец перевести в сверхпроводящее состояние, то затухание резко возрастает (кривая 1) и на зависимости $\Delta Q^{-1} (H_e)$ наблюдаются пики в области 1 и 3 Тл.

Величина $\Delta Q^{-1} (H_e)$ в рамках электродинамического подхода определяется средней мощностью джоулевых потерь индукционных токов $j = \sigma E$, $E = 1/c \cdot [v \cdot H_e]$, где $v = v(x, t)$ — скорость какого-либо элемента пластины; $\sigma (H_e)$ — динамическая проводимость сверхпроводника, введенная в [9]. Тогда

$$\Delta Q^{-1} (H_e) \approx \frac{\sigma (H_e) H_e^2}{\rho_M c^2 \omega_0^2},$$

где ω_0 — собственная частота колебаний пластины, ρ_M — плотность керамики. Оценка по формуле значений динамической проводимости в поле 5 Тл показывает, что σ в сверхпроводящем состоянии ($T=5$ К) в 30 раз превышает проводимость в нормальном состоянии ($T=220$ К). Пики на кривой $\Delta Q^{-1} (H_e)$ в сверхпроводящем состоянии свидетельствуют о сложном характере зависимости σ от H_e .

Однако провести более детальное обсуждение полученных результатов на данном этапе затруднительно.

Л и т е р а т у р а

- [1] Барьяхтар В. Г., Пан В. М., Таборов В. Ф. и др. // ФНТ. 1987. Т. 13. № 8. С. 848—849.
- [2] Головашкин А. И., Данилов В. А., Иваненко О. М. и др. // Письма в ЖЭТФ. 1987. Т. 46. № 7. С. 273—275.
- [3] Варюхин В. Н., Резников А. В., Григута О. В. и др. // Проблемы высокотемпературной сверхпроводимости. Ч. 2. Свердловск, 1987. С. 199—200.
- [4] Милошленко В. Е., Золотухин И. В., Постников В. С. // ПТЭ. 1972. № 1. С. 218—220.
- [5] Гридинев С. А., Кудряш В. И., Шувалов Л. А. // Изв. АН СССР, сер. физ. 1979. Т. 43. С. 1718—1722.
- [6] Wu M. K., Ashburn J. R., Torny C. J. et al. // Phys. Rev. Lett. 1987. V. 58. N 9. P. 908—910.
- [7] Милошленко В. Е. // ФТТ. 1987. Т. 29. № 8. С. 2545—2547.
- [8] Grand P. M., Beyers R. S., Engler E. M. et al. // Phys. Rev. B: Condens. Matter. 1987. V. 35. N 13. P. 7242—7244.
- [9] Золотухин И. В., Милошленко В. Е., Рощупкин А. М. и др. // ФНТ. 1980. Т. 6. № 2. С. 230—235.

Воронежский политехнический институт
Воронеж

Поступило в Редакцию
6 июня 1988 г.
В окончательной редакции
17 августа 1988 г.